

## فراوانی کلاس های اینتگرونی و مقاومت چندگانه دارویی در آسینتوباکترهای بیمارستانی

احیا عبدی عالی<sup>1\*</sup>، سارا ژاپونی<sup>2</sup>، عزیز ژاپونی<sup>3</sup>، شهره فرشاد<sup>3</sup>

1. PhD میکروبیولوژی، دانشیار گروه زیست شناسی، دانشگاه الزهرا (س)

2. MSc میکروبیولوژی، کارشناس ارشد گروه زیست شناسی ، دانشگاه الزهرا(س)

3. PhD میکروبیولوژی سلولی، دانشیار مرکز تحقیقات میکروب شناسی بالینی استاد البرزی شیراز

\* نشانی برای مکاتبه: گروه زیست شناسی، دانشگاه الزهرا(س) تهران، abdiaalya@alzahra.ac.ir

دریافت مقاله: بهمن هشتاد و نه پذیرش برای چاپ: فروردین نود

### چکیده

سابقه و هدف: عفونت های بیمارستانی که توسط *Acinetobacter* های مقاوم به چند دارو ایجاد می شوند، یک مشکل جدی در بسیاری از کشورها هستند. هدف از این مطالعه تعیین الگوهای حساسیت آنتی بیوتیکی و فراوانی کلاس های مختلف اینتگرون در ایزوله های *Acinetobacter* بود. همچنین ارتباط بین تولید باندهای اختصاصی در آزمون PCR با گسترش مقاومت آنتی بیوتیکی مورد مطالعه قرار گرفت.

روش کار: در طی دوره یک ساله، 88 ایزوله *Acinetobacter* از بیماران بدست آمد. حداقل غلظت مهارکنندگی (MIC) ایزوله ها نسبت به 12 آنتی بیوتیک پرکاربرد در کلینیک توسط روش E-test بررسی و حضور اینتگرون از طریق تکنیک ژن اینتگراز توسط آزمون PCR مورد مطالعه قرار گرفت.

یافته ها: موثرترین آنتی بیوتیک با 97/7٪ اثر کلیستین بود و به دنبال آن ایمی پنم (77/3٪) و سپس مروپنم (72/7٪) قرار داشت. حضور اینتگرون کلاس 1 و 2 در 53/4٪ نمونه ها مشاهده شد و اینتگرون کلاس 3 مشاهده نشد. نسبت حضور کلاس 1 اینتگرون به کلاس 2 بالا بود (47/7٪ در مقابل 3/4٪). ارتباط بین مقاومت به نورفلوکساسین، سفنازیدیم، جنتامیسین، سیپروفلوکساسین، سفپیم و آمیکاسین و حضور اینتگرون معنی دار گزارش شد. هرچند این ارتباط با بقیه آنتی بیوتیک ها معنی دار نبود.

نتیجه گیری: شاخص های دیگر مقاومت مانند ترانسپوزون و پلاسمید نیز ممکن است در پدیده مقاومت اسینتو باکتر اهمیت داشته باشد. برای کاهش فشار بر روی ایزوله های حساس، اقدامات کنترلی جامع بایستی اعمال گردد. همچنین پرهیز از مصرف نا بجای آنتی بیوتیک های حساس نیز کمک کننده است. کلیستین موثرترین آنتی بیوتیک بر علیه *Acinetobacter* است ولی بدلیل اثرات جانبی مضر آن تجویز آن محدود شده است.

واژگان کلیدی: *Acinetobacter* مقاومت چند دارویی، آزمون PCR اینتگرون

### مقدمه

اینتگراز (int I) رمز کننده اینتگراز (b) IntI، ژن attI رمز کننده جایگاه ورود کاست و (C) پروموتور مسئول بیان کاست های ژنی است (5). با وجود حضور 6 کلاس اینتگرونی (6)، تنها سه کلاس توصیف شده اند (7). همه اینتگرون ها دارای بخش 5' محافظت شده هستند که حاوی ژن intI رمز کننده اینتگراز در جایگاه نوترکیبی attI است ولی بخش محافظت شده 3' در اینتگرون های مختلف متمایز است. در اینتگرون های کلاس 1، ناحیه حفاظت شده 3' شامل سه قالب خواندن باز است: qac EΔ1 که مسئول مقاومت به ترکیبات چهارتایی آمونیوم است، Sul 1 که مسئول مقاومت به سولفونامیدها است و ORF5 که عملکرد مشخص ندارد (8). کلاس دوم اینتگرون در ترانسپوزون Tn7 و مشتقات آن پیدا شد. در ناحیه 3' حفاظت شده این اینتگرون 5 ژن tns حضور دارد که در حرکت ترانسپوزون موثرند. تا به حال تنها یک اینتگرون کلاس 3

*Acinetobacter*، باکتری گرم منفی است که در بسیاری از محیط های بیمارستانی یافت می شود (1و2). حضور شاخص های مقاومت گسترده و قدرت بقای بالا، آن را به یک پاتوژن بیمارستانی تبدیل کرده است (3). امروزه *A. baumannii* یک عامل مهم در بسیاری از شیوع های جهانی است و مقاومت آن رو به افزایش است (4). در سالهای اخیر، یک مکانیسم جدید انتشار ژن مقاومت در باکتری ها به نام «اینتگرون» معرفی شده است (5). اینتگرون ها عناصر DNA محافظت شده، با قابلیت بدام انداختن و حرکت کاست های ژنی هستند. خصوصیت اختصاصی اینتگرون ها حضور سه جزء در منطقه حفاظت شده 59 bp یعنی (a) ژن

## روش کار

در طی یک دوره یک ساله از مهر 1387 تا مهر 1388، 88 نمونه از گونه های مختلف Acinetobacter از بیماران بستری در بیمارستان نمازی شیراز جداسازی شد. شناسایی نمونه ها توسط روش (bio Merieux, API 20E system (Marcy 1 Etoile, France) انجام شد.

تعیین حدقل غلظت مهار کنندگی نمونه ها به 12 آنتی بیوتیک شامل: سیپروفلوکساسین، کلیستین، سفنازیدیم، آمپی سیلین/ سولباکتام، امی پنم، مروپنم، جنتامیسین، نورفلوکساسین، آمیکاسین، سفپیم، توبرامایسین و سفپرازون/سولباکتام توسط روش E-test انجام و نتایج توسط دستورالعمل شرکت سازنده تفسیر شد.

DNA باکتری ها توسط روش مرسوم فنل-کلروفوم استخراج شد. کیفیت DNA استخراج شده توسط دستگاه (Nano drop technologies, Wilmington, Delaware USA) Nano drop مورد بررسی قرار گرفت. تعیین کلاس های مختلف DNA توسط روش multiplex PCR با استفاده از پرایمرهای توصیف شده در جدول 1 اجرا شد.

### جدول 1. پرایمرهای مورد استفاده در این مطالعه

منبع	توالی نوکلئوتیدی	پرایمر
10	35 TC TGT GCC TAA ACA TGG CAG	Int1-F
	35 GTA ACT TAG GCA GAG CCC	Int1-R
	35 TG ACC ATA TCC GTA CGA TTG	Int2-F
13	5 3 ACT CTG AAC CCA CTG GAT	Int2-R
	5 3 TAA GC 3 5 TTA CCT GCA CTG	Int3-F
26	35 AGC GAC TTT CAG 3 5	Int3-R
	35 AG GCA GCA CAA ATC GGC	CS-F
	35 GA CCT TGA ACT CAG AAG	CS-R

پرایمرها از شرکت TIB MOLBIOL Syntheselabor GmbH (Berlin, Germany) تهیه شد. موارد مورد نیاز آزمون PCR در جدول 2 و برنامه PCR در جدول 3 آورده شده است.

### جدول 2. مواد مورد نیاز برای آزمون PCR ژن اینتگراز کلاس

ترکیب	حجم مورد نیاز µl	غلظت نهایی
dNTPs	0/4	10 mM
Mgcl <sub>2</sub>	0/6	50 mM
PCR buffer	2	10 X
dd H <sub>2</sub> O	10/3	-
Int1-F	0/25	100 Pm
Int1-R	0/25	100 Pm
Int2-F	0/25	100 Pm
Int2-R	0/25	100 Pm
Int3-F	0/25	100 Pm
Int3-R	0/25	100 Pm

Taq polymerase	0/2	5 Unit	
DNA template	5	-	
حجم نهایی	20	-	
<b>جدول 3. برنامه آزمون PCR ژن اینتگراز کلاس های 1، 2 و 3</b>			
تعداد سیکل	زمان	دما (°C)	برنامه PCR
1	5 دقیقه	94	Initial denaturation
35	30 ثانیه	94	Denaturation
35	30 ثانیه	55	Annealing
35	30 ثانیه	72	Extention
1	5 دقیقه	72	Final extention
-	-	8	Hold

پرایمرهای Int1F و Int1R برای تکثیر قطعه 160 bp از ژن intI 1 برای اینتگراز کلاس یک و پرایمرهای Int2F و Int2R برای تکثیر قطعه 288 bp از ژن اینتگراز کلاس 2 بکار گرفته شدند. پرایمرهای Int3F و Int3R یک ژن اختصاصی در اینتگرون کلاس سه را تکثیر نمودند. شناسایی ژن کامل اینتگرون کلاس 1 توسط بکارگیری پرایمرهایی برای مناطق محافظت شده 3' و 5' اجرا شد. این PCR همچنین اندازه هر کاست ژنی وارد شده را تعیین می نمود که بین 500 تا بیش از 3000 bp متغیر بود.

آزمون PCR بکار رفته برای کشف ژن کامل اینتگرون کلاس 1 در حجم 20µl مشابه آنچه در جدول 1 ذکر شد اجرا شد و تنها تغییر، بکارگیری آنزیم پرایمرز Smart Tag 3U (Fermentas, Lithuania) بود. برنامه PCR آن در جدول 4 آورده شده است.

### جدول 4. برنامه آزمون PCR برای تکثیر باندهای موجود در

اینتگرون کلاس 1			
تعداد سیکل	زمان	دما (°C)	برنامه PCR
1	5 دقیقه	94	Initial denaturation
35	1 دقیقه	94	Denaturation
35	1 دقیقه	55	Annealing
35	30 ثانیه + 5 ثانیه*	72	Extention
1	10 دقیقه	72	Final extention
-	-	8	Hold

\* در هر سیکل 5 ثانیه به زمان سیکل اضافه شده است.

ارتباط بین الگوهای مقاومت آنتی بیوتیکی و حضور کلاس های مختلف اینتگرونی توسط آزمون آماری Chi-square یا Fisher's Exact test توسط نرم افزار SPSS نسخه 15 تعیین گردید و  $P < 0/05$  سطح معنی دار اختلاف ها تعریف شد.

## یافته ها

اکثر ایزوله های Acinetobacter (8/39٪) از خون جداسازی شده بود و در بین آقایان شیوع بالاتری (70٪) داشت. بیشترین فراوانی مربوط به گونه A.baumannii (79 ایزوله، 89/8٪) سپس A. Iwoffii (8)

سیپروفلوکساسین (26/1)، آمیکاسین (25)، نورفلوکساسین (23/8)، جنتامیسین (20/4)، سفپیم (19/3) و سفنازیدیم (18/2) بود.

ایزوله، (9/1) بود. حساسیت *Acinetobacter* به کلیستین (97/7)، ایمی پنم (77/3)، مروپنم (72/7)؛ توبرامایسین (63/6)، سفیرازون/سولباکتام (67)، آمپی سیلین/سولباکتام (61/4)، فصلنامه بیماری های عفونی و گرمسیری، سال شانزدهم، شماره 52 احیا عبدی عالی و همکاران

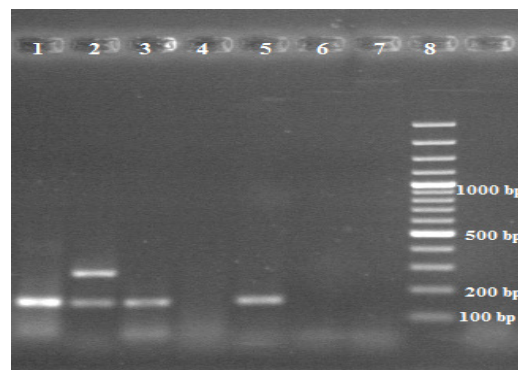
بین 500 تا بیش از 3000 bp را تولید نمود که بین گونه های مختلف *Acinetobacter* باندهایی با اندازه 500، 600، 800 و 1200 جفت باز فراوانی بالاتری داشت (جدول 7).

آزمون PCR حضور *intI1* از کلاس اینتگرون و *intI2* را تایید نمود ولی *intI3* شناسایی نشد. شکل 1 حضور اینتگراز 1 و 2 را به نمایش می گذارد. در بین سویه های *Acinetobacter* 47 نمونه (53/4٪) حاوی کلاس 1 یا 2 یا هر دو کلاس اینتگرون بودند. جدول 5 فراوانی کلاس های مختلف اینتگرون را در ایزوله های *Acinetobacter* نشان می دهد.

جدول 6. توزیع 88 ایزوله آسینتوباکتر براساس کلاس های اینتگرونی و الگوی مقاومتی آنها

جمع	اینتگرون			الگوهای مقاومت دارویی
	کلاس 1 و 2	کلاس 2	کلاس 1	
1	-	-	1	TZ
1	1	-	-	TZ-AK
1	-	-	-	AB-PM
1	-	-	-	AK-TM
1	-	-	-	GM-TM
1	-	-	-	AB-IP-MP
1	-	-	-	NX-TZ-GM-TM-PM
1	-	-	1	TZ-GM-AK-TM-PM
13	-	-	11	NX-TZ-GM-CI-AK-PM
2	-	-	2	NX-TZ-GM-CI-AB-PM
1	-	-	-	NX-TZ-GM-AK-TM-PM
1	-	-	-	NX-TZ-CI-AK-MP-PM
2	-	-	1	NX-TZ-GM-CI-AK-CPS-PM
14	-	3	4	NX-TZ-GM-CI-AK-TM-PM
1	-	-	-	NX-TZ-GM-CI-AK-PM-CO
1	-	-	1	NX-TZ-GM-AK-IP-TM-MP-PM
11	-	-	8	NX-TZ-GM-CI-AB-AK-CPS-PM
2	-	-	1	NX-TZ-GM-CI-AK-TM-MP-PM
1	-	-	1	NX-TZ-GM-CI-AB-AK-TM-PM
1	-	-	-	TZ-GM-AB-IP-TM-MP-PM-CO
1	-	-	1	TZ-GM-CI-AK-IP-TM-MP-PM
1	-	-	1	NX-TZ-GM-CI-AB-AK-TM-MP
2	-	-	2	NX-TZ-GM-CI-AB-IP-CPS-MP-PM
6	1	-	5	NX-TZ-GM-CI-AB-AK-IP-CPS-MP-PM
8	-	-	1	NX-TZ-GM-CI-AB-AK-IP-TM-CPS-MP-PM
12	-	-	1	حساس
88	2	3	42	جمع

اختصارات: CI: سیپروفلوکساسین؛ CO: کلیستین؛ TZ: سفنازیدیم؛ AB: آمپی سیلین/سولباکتام؛ IP: ایمی پنم؛ MP: مروپنم؛ GM: جنتامیسین؛ NX: نورفلوکساسین؛ AK: آمیکاسین؛ PM: سفپیم؛ TM: توبرامایسین؛ CPS: سفیرازون/سولباکتام.



شکل 1. ردیابی اینتگرون ها بوسیله تکثیر ژن اینتگراز.

خط 8، 100 bp DNA ladder (MBI Fermentas, Hanover, MD)؛ خطوط 1، 3، 5، آمپلیکون های اینتگراز 1 (160 bp)؛ خط 2، آمپلیکون های اینتگراز 1 (160bp) و اینتگراز 2 (288 bp). خطوط 4، 6 و 7 بدون اینتگرون هستند.

جدول 5. توزیع ایزوله های آسینتوباکتر براساس کلاس های مختلف اینتگرون

اینتگرون	تعداد	درصد
کلاس 1	42	47/7
کلاس 2	3	3/4
کلاس 1 و کلاس 2	2	2/3
کلاس 3	0	0
بدون اینتگرون	41	46/6
جمع	88	100

از بین 79 سویه *A. baumannii* 45 نمونه (57٪) حاوی اینتگرون بودند در حالی که از 8 سویه *A. lwoffii* تنها 2 نمونه (25٪) اینتگرون حمل می کردند. بنابراین اینتگرون در *A. baumannii* شیوع بالاتری داشت.

سویه های حاوی ژن های مقاومت به آنتی بیوتیک های سیپروفلوکساسین، سفنازیدیم، جنتامیسین، نورفلوکساسین، آمیکاسین و سفپیم شیوع بالایی از اینتگرون کلاس 1 را داشتند. داده ها همچنین ارتباطی را بین حضور اینتگرون کلاس دو و مقاومت به آنتی بیوتیک های سیپروفلوکساسین، سفنازیدیم، جنتامیسین، نورفلوکساسین، آمیکاسین، سفپیم و توبرامایسین نشان دادند (جدول 6). تکثیر کلاس یک اینتگرونی باندهایی با اندازه هایی

**بحث**

عفونت های *Acinetobacter* در بیماران بستری در بیمارستان به دلیل کسب مقاومت چند دارویی مشکلات و پیچیدگی هایی را ایجاد می کنند. بیشتر نمونه ها در این مطالعه از خون بدست آمده بودند (39/8٪). نتایج مشابهی در مطالعات گذشته از تهران بدست آمده است (15). انتشار آسینتوباکتر در خون ممکن است نشان دهنده نقش گردش خون در انتشار عفونت باشد (16). *A. baumannii* گونه غالب در نمونه های بالینی تحقیق حاضر است که با نتایج سایر مطالعات هم خوانی دارد (17 و 18).

موثرترین آنتی بیوتیک ها بر علیه *Acinetobacter* کلیستین، امپی پنم و مروپنم بود. با وجود اینکه کلیستین از لحاظ آزمایشگاهی موثرترین آنتی بیوتیک است ولی مصرف آن به دلیل اثرات جانبی مضر محدود شده است (19) و (20). با این وصف، مشاهده مقاومت بالای *Acinetobacter* به اکثریت آنتی بیوتیک های مورد آزمایش، مصرف آنتی بیوتیک های موثر جایگزین را نیز محدود کرده است.

به احتمال زیاد، ژن های مقاومت از طریق عناصر ژنتیکی مثل اینتگرئون، پلاسمید و ترانسپوزون کسب شده اند (2). در این خصوص نقش اینتگرئون بدلیل داشتن سیستم های تسخیر و بدام انداختن قوی ژن ها قابل توجه است (21-23). کسب ژن های مقاومت آنتی بیوتیکی به طور پیوسته به سرعت گسترش می یابد، بنابراین با تجویز کنترل نشده آنتی بیوتیک ها در بیمارستان ها و کلینیک ها امکان کسب مقاومت افزایش می یابد.

برای غلبه یافتن به مقاومت آنتی بیوتیکی پیش رونده، تجویز آنتی بیوتیک های موثر بایستی به موقع و به جا انجام شود.

در مطالعه حاضر حضور اینتگرئون کلاس 1 و 2 در بین ایزوله های *Acinetobacter* 53/4٪ بود. این نتایج هم راستا با گزارشات منتشر شده می باشند که نشانگر حضور بالای اینتگرئون کلاس 1 در بین گونه های مختلف *Acinetobacter* است (10-14). عدم حضور اینتگرئون کلاس 3 می تواند بیانگر این باشد که این کلاس اینتگرئون نقشی در مقاومت آنتی بیوتیکی ندارد و فراوانی بالاتر کلاس 1 اینتگرئون نسبت به کلاس 2 می تواند کارآمدتر بودن آن را در بدام انداختن شاخص های مقاومت نشان دهد. برای تعیین این احتمال توالی کردن و کلون نمودن نمونه های حاوی اینتگرئون کلاس 1 و 2 می تواند مفید باشد. مقایسه الگوهای مقاومت دارویی و ارتباط آنها با حضور کلاس 1 و 2 اینتگرونی تصدیق می نماید که هر دو کلاس اینتگرئون الگوهای مقاومت دارویی مشابهی به آنتی بیوتیک های مورد آزمایش دارند (جدول 6). هر چند اینتگرئون کلاس 1 در پدیدار شدن مقاومت به آنتی بیوتیک ها نقش پر رنگ تری داراست.

در بین ایزوله ها، نمونه های حاوی باندهای 500، 600، 800، 1200 جفت باز در کلاس 1 اینتگرئون فراوانی بالاتری داشتند و چنانچه فشارهای انتخابی در بیمارستان ها و کلینیک ها ادامه یابد، در آینده نزدیک ایزوله های حاوی تعداد باندهای بیشتر گسترش می یابند که ماحصل آن افزایش مقاومت آنتی بیوتیکی است.

نتایج این مطالعه ارتباط معنی داری را بین حضور اینتگرئون و مقاومت به 6 آنتی بیوتیک را نشان داد. در حالی که این ارتباط برای 6 آنتی بیوتیک دیگر مشاهده نشد. این نتیجه می تواند نقش شاخص های دیگر مقاومت مثل پلاسمید و ترانسپوزون را در شکل گیری مقاومت آنتی بیوتیکی *Acinetobacter* تایید نماید (24 و 25).

**جدول 7. اندازه باندهای تکثیر یافته از نمونه های حاوی اینتگرئون**

کلاس 1	
تعداد ایزوله ها	الگوهای باندهای اینتگرئون کلاس 1
1	500, 600, 1300
1	500, 800, 1200
13	500, 600, 800, 1200
5	500, 600, 800, 1200, 2500
1	500, 600, 800, 1200, >3000
1	500, 800, 900, 1200, 2500
2	500, 800, 1000, 1200, 2500
1	620, 900, 1300, 1700, >3000
2	500, 600, 800, 900, 1200, 2500
1	500, 600, 800, 1000, 2300, 2500
2	500, 600, 800, 1200, 1500, 2500
2	500, 600, 800, 1200, 2500, 3000
1	500, 800, 1000, 1200, 1500, 2500
4	500, 600, 800, 900, 1200, 1500, 2500
4	500, 600, 800, 1000, 1200, 1500, 2500
1	500, 600, 800, 1200, 1500, 2400, 2500
1	500, 600, 800, 900, 1200, 1500, 1700, 2500,
1	500, 600, 750, 800, 900, 1200, 1300, 1500,

ارتباط بین مقاومت دارویی به سیپروفلوکساسین، سفتازیدیم، جنتامیسین، نورفلوکساسین، آمیکاسین، سفپیم، و حضور اینتگرئون از لحاظ آماری معنی دار بدست آمد در حالی که این ارتباط بین آنتی بیوتیک های کلیستین، امپی سیلین/ سولباکتام، امپی پنم، مروپنم، توپراماسین و سفیرازون/سولباکتام بدست نیامد (جدول 8).

**جدول 8. توزیع 88 ایزوله آسینتوباکتر براساس حضور اینتگرئون و**

آنتی بیوتیک	مقاومت		مقاومت	
	درصد حضور	درصد عدم حضور	درصد مقاومت و مقاومت	درصد ارتباط مقاومت
Colistin	0 (0)	2 (2/3)	2 (2/3)	0/126
Imipenem	13/6	8 (9/1)	22/7	0/501
Meropenem	15/9	10/4	27/3	0/571
Cefoperazone/sulbactam	21/6	10/4	29 (33)	0/110
Tobramycin	14/8	21/6	36/4	0/069
Ampicillin/sulbactam	22 (25)	13/6	34 (38/6)	0/092
Ciprofloxacin	48/9	22 (25)	73/6	P<0/001
Amikacin	47/7	27/3	66 (75)	P<0/001
Norfloxacin	48/9	27/3	76/2	P<0/001
Gentamicin	51/1	28/4	79/5	P<0/001
Cefepime	51/1	29/5	80/6	P<0/001
Ceftazidime	52/3	29/5	81/8	P<0/001

1. مقادیر معنی دار پر رنگ شده اند

جامع به همراه تعیین الگوی مقاومت آنتی بیوتیکی به صورت دوره ای ممکن است باعث کاهش شرایط بحرانی گردد. کلیستین، ایمی پنم و مروپنم موثرترین عوامل علیه *Acinetobacter* هستند، هرچند بدلیل عوارض جانبی نامناسب مصرف کلیستین محدود شده است.

## نتیجه گیری

در پایان، *Acinetobacter* به اکثریت آنتی بیوتیک های تجویز شده مقاومت بالایی نشان داد. برای کاهش میزان مقاومت، اقدامات کنترلی فصلنامه بیماری های عفونی و گرمسیری، سال شانزدهم، شماره 52 احیا عیدی عالی و همکاران

## REFERENCES

---

1. Bergogne-Berezin E and Towner KJ. *Acinetobacter* Spp. as nosocomial pathogens: Microbiological, clinical & epidemiological features. *Clin Microbiol* 1996; 8, 148-165.
2. Perez F, Hujer AM, Hujer KM, Decker BK, Rather PN and Bonomo RA. Global Challenge of multidrug-resistant *Acinetobacter baumannii*. *Antimicrob Agents Chemother* 2007; 51, 3471-3484.
3. Nordmann P. *Acinetobacter baumannii*, the nosocomial pathogen par excellence. *Pathol Biol* 2004; 52, 301-303.
4. Villegas MV and Hartstein AI. *Acinetobacter* outbreaks, 1977-2000. *Infect Control Hosp Epidemiol* 2003; 24, 284-95.
5. Stokes HW and Hall RM. A novel family of potentially mobile DNA elements encoding site-specific gene-integration functions: integrons *Mol Microbiol* 1989; 3, 1669-1683.
6. Neild BS, Holmes AJ, Gillings MR, Recchia GD, Mabbutt BC, Nevalainen KM and Stokes HW. Recovery of new integron classes from environmental DNA. *FEMS Microbiol Lett* 2001; 195, 59-65.
7. Rowe-Magnus D A and Mazel D. Resistance gene capture. *Curr Opin Microbiol* 1999; 2, 481-486.
8. Radström P, Sköld O, Swedberg G, Flensburg J, Roy PH and Sundström L. Transposon Tn5090 of plasmid R751, which carries an integron, is related to Tn7, Mu, and the retro elements. *J Bacteriol* 1994; 176, 3257-3268.
9. Arakawa Y, Murakami M, Suzuki K, Ito H, Wacharotayankun R, Ohsuka S, Kato N and Ohta M. A novel integron-like element carrying the metallo- $\beta$ -lactamase gene blaIMP. *Antimicrob Agents Chemother* 1995; 39, 1612-1615.
10. Koeleman JG, Stoof J, Van Der Bijl MW, Vandenbroucke-Grauls CM and Savelkoul PH. Identification of epidemic strains of *Acinetobacter baumannii* by integrase gene PCR. *J Clin Microbiol* 2000; 39, 8-13.
11. Galleco L and Towner KJ. Carriage of class 1 integrons and antibiotic resistance in clinical isolates of *Acinetobacter baumannii* from Northern Spain. *J Med Microbiol* 2001; 50, 71-77.
12. Gaur A, Prakash P, Anupurba S and Mahapatra TM. Possible role of integrase gene polymerase chain reaction as an epidemiological marker: study of multi-drug resistant *Acinetobacter baumannii* isolated from nosocomial infections. *Int J Antimicrobial Agents* 2006; 29, 446-450.
13. Ploy MC, Denis F, Courvalin P and Lambert T. Molecular characterization of integrons in *Acinetobacter baumannii*: description of a hybrid class 2 integron. *Antimicrob Agents Chemother* 2000; 44, 2684-2688.
14. Xu X, Kong F, Cheng X, Yan B and Du X. Integron gene Cassettes in *Acinetobacter* spp. Strains from south China. *Int J Antimicrobial Agents* 2008; 32, 441-445.
15. Feizabadi MM, fatollahzadeh B, Taherikalani M, Rasoolinejad M, Sadeghifard N, Aligholi M, Soroush S and Mohammadi-Yegane S. Antimicrobial susceptibility patterns and distribution of bla OXA genes among *Acinetobacter* Spp. isolated from patients at Tehran hospitals. *Jpn J Infect Dis* 2008; 61, 274-278.

16. Gisneous JM and Rodriguez-Bano J. Nosocomial bacteremia due to *Acinetobacter baumannii*: epidemiology, clinical features and treatment. *Clin Microbiol Infects* 2002; 8, 687-693.

17. Seifert H, Baginsky R, Schulze A and Polverer G. The distribution of *Acinetobacter* species in clinical culture materials. *Zentralbl Bakteriell* 1993; 279, 544-552.

فصلنامه بیماری های عفونی و گرمسیری ، سال شانزدهم ، شماره 52

20 اینتگرون و مقاومت در آسینتوباکتر

18. Towner KJ. *Acinetobacter*: an old friend, but a new enemy. *J Hosp Infect* 2009; 73, 355-63.

19. Lewis JR and Lewis SA. Colistin interactions with mammalian outothelium. *Am J physiol Cell physiol* 2004; 286, C913- C922.

20. Reed MD, Stern RC, O'Riordan MA and Blumer JL. The pharmacokinetics of colistin in patients with cystic fibrosis. *J Clin Pharmacol* 2001; 41, 645-54.

21. Turton JF, Kaufmann ME, Glover J, Coelho JM, Warner M, Pike R and Pitt TL. Detection and typing of integrons in epidemic strains of *Acinetobacter baumannii* found in the United Kingdom. *J Clin Microbiol* 2005; 43, 3074-3082.

22. Gonzalez G, Sossa K, Bello H, Dominguez M, Mella S and Zemelman R. Presence of integrons in isolates of different biotypes of *Acinetobacter baumannii* from Chilean hospitals. *FEMs Microbiol lett* 1998; 161, 125-128.

23. Seward RJ and Towner KJ. Detection of integrons in worldwide nosocomial isolates of *Acinetobacter* spp. *Clin Microbiol Infect* 1999; 5, 308-318.

24. Chen TL, Chang WC, Kuo SC, Lee YT, Chen CP, Siu LK, Cho WL and Fung CP. Contribution of a plasmid borne blaOXA-58 with its hybrid promoter provided by IS1006 and ISAb3-like to {beta}-lactam resistance in *Acinetobacter* genomic species 13TU. *Antimicrob Agents Chemother* 2010; 54: 3107-12.

25. Post V and Hall RM. AbaR5, a large multiple-antibiotic resistance region found in *Acinetobacter baumannii*. *Antimicrob Agents Chemother* 2009; 3, 2667-71.

26. Lévesque C, Piché L, Larose C and Roy PH. PCR mapping of integrons reveals several novel combinations of resistance genes. *Antimicrob Agents Chemother* 1995; 39, 185-91.